

# Robótica e Automação

## Projeto 1

Erica da Cunha Ferreira

Fevereiro 2022



UFRJ

# Sumário

<b>1</b>	<b>Introdução</b>	<b>1</b>
<b>2</b>	<b>Metodologia</b>	<b>2</b>
2.1	Denavit-Hartenberg . . . . .	3
2.1.1	Eixo de Coordenadas . . . . .	3
2.1.2	Parâmetros . . . . .	5
2.2	Cinemática Inversa . . . . .	6
2.3	Cinemática Diferencial . . . . .	7
2.4	Torque . . . . .	10
<b>3</b>	<b>Resultados</b>	<b>10</b>
3.1	Cinemática Direta . . . . .	10
3.1.1	Simulação com os parâmetros de Denavit-Hartenberg Standard . . . .	11
3.2	Cinemática Inversa . . . . .	15
3.3	Cinemática Diferencial . . . . .	16
3.3.1	Validação do Jacobiano . . . . .	20
3.4	Torque . . . . .	23
<b>4</b>	<b>Conclusão</b>	<b>23</b>

# 1 Introdução

Neste relatório será descrita as etapas para a modelagem cinemática do manipulador *Kinova Gen3 Ultra lightweight* de 7 juntas, mostrado na Figura 1. Para isso, foi utilizado como referência para a posição zero a configuração presente na Figura 2. Como é possível ver na representação em 2D do modelo, há desvios horizontais, estes, entretanto, serão desconsiderados, a fim de facilitar os cálculos.



Figura 1: Manipulador Kinova Gen3 Ultra lightweight

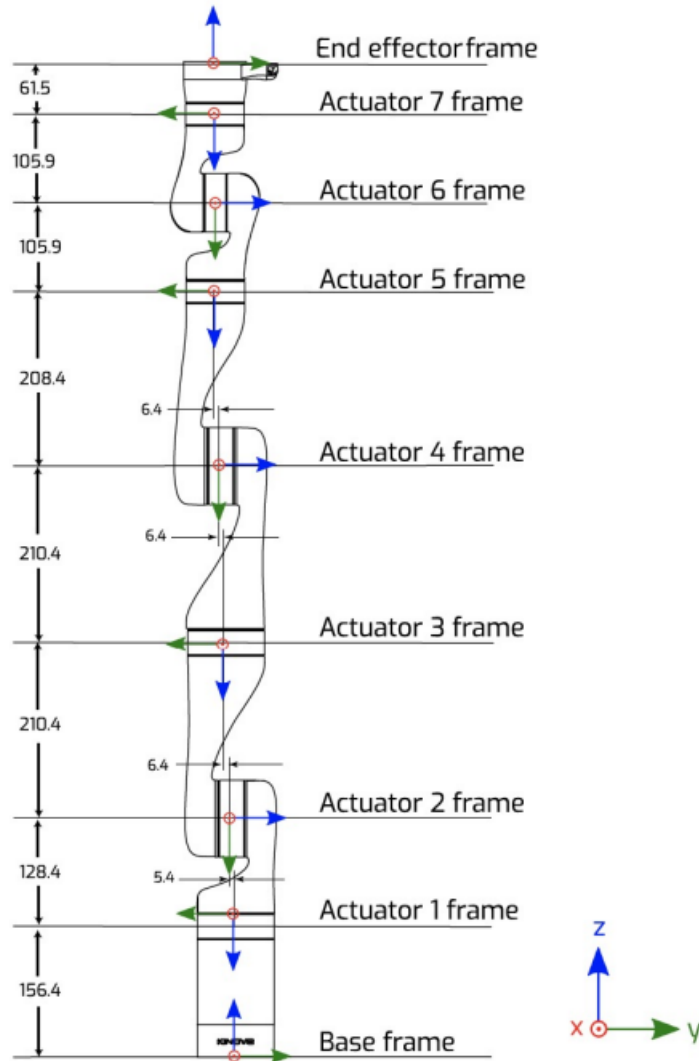


Figura 2: Representação em 2D do modelo Kinova Gen3

## 2 Metodologia

Para que seja feita a modelagem do manipulador, será calculada a cinemática direta através dos parâmetros de *Denavit-Hartenberg*. Também será feita a cinemática inversa a partir da matriz de transformação homogênea. Além disso, será calculada velocidades, forças e posição do manipulador.

## 2.1 Denavit-Hartenberg

*Denavit-Hartenberg* é uma convenção normalmente usada representar as equações cinemáticas de um manipulador. Esta convenção está presente em duas formas **Standard** e **Modificado**, ambos utilizam 4 parâmetros principais para a descrição da cinemática. Neste relatório será utilizado o *Denavit-Hartenberg Standard*.

Antes de aplicar o método, se faz necessário estabelecer algumas regras, como:

- Cada junta conecta 2 elos\*
- Cada elo conecta 2 juntas\*
- \* Exceto o primeiro e último elo

Então temos:

- N juntas
- N+1 elos

A primeira etapa deste método consta em definir eixos de origem para cada junta, a definição segue as regras abaixo: Para isso, existe uma metodologia para a representação de coordenadas de cada eixo.

### 2.1.1 Eixo de Coordenadas

Os parâmetros de *Denavit-Hartenberg* fornecem a posição relativa de uma junta a outra junta. Para isso, é colocado um eixo de coordenadas no final de cada elo.

Para a localização da origem do eixo de coordenadas, temos:

- Definir  $\vec{z}_i$  no eixo de rotação/translação na junta  $i + 1$

Se  $\vec{z}_i$  e  $\vec{z}_{i-1}$  se interceptam,  $O_i$  fica na interseção.

Se  $\vec{z}_i$  e  $\vec{z}_{i-1}$  são paralelas,  $O_i$  fica na junta  $O_{i+1}$

- Definir  $\vec{x}_i$  ao longo da normal comum a  $\vec{z}_i$  e  $\vec{z}_{i-1}$ .

]Se  $\vec{z}_i$  e  $\vec{z}_{i-1}$  se interceptam, escolher direção\* normal ao plano definido por  $\vec{z}_i$  e  $\vec{z}_{i-1}$ . O sentido é arbitrário.

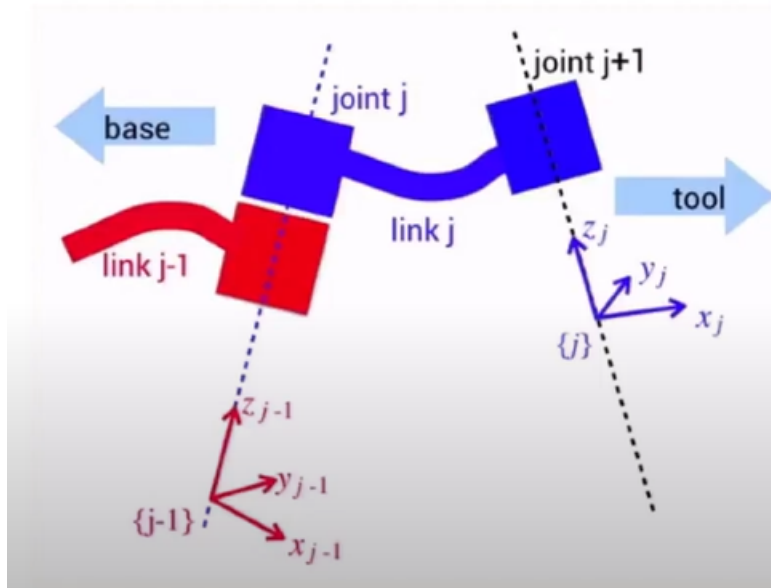


Figura 3: Representação dos eixos de coordenadas utilizando *Denavit-Hartenberg*

Para melhor visualização, podemos ver na Figura 3 os eixos, o Eixo $_j$  é o referencial e o Eixo $_{j-1}$  é o eixo anterior ao referencial.

Considerando as regras definidas anteriormente e definindo como posição zero, isto é, onde todos os ângulos de rotação são iguais a zero, como a posição mostrada na Figura 2, foram definidos os sistemas de coordenadas a seguir.

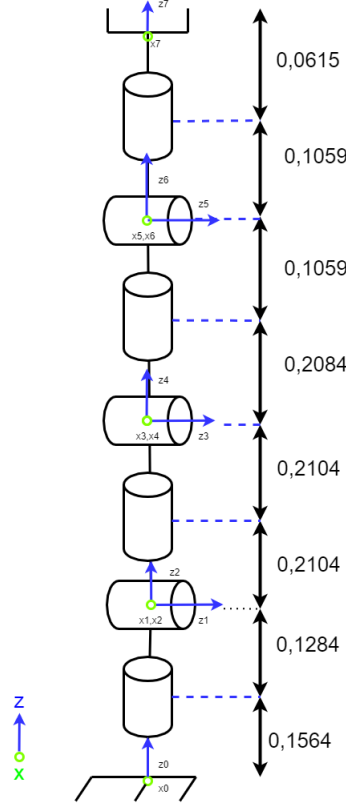


Figura 4: Definição dos sistemas de coordenadas para *Denavit-Hartenberg Standard*

### 2.1.2 Parâmetros

Após a definição das coordenadas de cada eixo, são obtidos os parâmetros de *Denavit-Hartenberg Standard*, estes são  $\theta_i$ ,  $d_i$ ,  $a_i$  e  $\alpha_i$ , são definidos por:

- $\theta_i$  - ângulo entre  $x_{i-1}$  e  $\vec{x}_i$  ao redor de  $z_{i-1}$
- $d_i$  - distância entre  $z_{i-1}$  e  $\vec{z}_i$  ao longo de  $z_{i-1}$
- $a_i$  - distância entre  $z_{i-1}$  e  $\vec{z}_i$  ao longo de  $\vec{x}_i$
- $\alpha_i$  - ângulo entre  $z_{i-1}$  e  $\vec{z}_i$  ao redor de  $x_{i-1}$

Agora que foi definido o que cada parâmetro representa, podemos os definir seguindo as seguintes regras:

- $\theta_i^*$  - Rotacionar o eixo  $\vec{x}_i$  em torno de  $\vec{z}_i$  até ficar paralelo ao  $x_{i+1}$

- $d_i^*$  - Transladar o eixo de coordenadas  $j_i$  ao longo de  $\vec{z}_i$  até a intersecção entre  $\vec{z}_i$  e  $x_{i+1}^{\rightarrow}$
- $a_i$  - Transladar o eixo de coordenadas  $j_{i+1}$  ao longo de  $x_{i+1}^{\rightarrow}$
- $\alpha_i$  - Rotacionar o eixo de  $\vec{z}_i$  em torno de  $x_{i+1}^{\rightarrow}$  até ficar paralelo ao eixo  $z_{i+1}^{\rightarrow}$
- \* Para juntas de rotação, o  $\theta$  é variável e representado por  $\theta_i$
- \* Para juntas prismáticas, o  $d$  é variável e representado por  $d_i$

i	$\theta_i$	$d_i$ (m)	$a_i$ (m)	$\alpha_i$
1	$\theta_1$	0,2488	0	$-\frac{\pi}{2}$
2	$\theta_2$	0	0	$\frac{\pi}{2}$
3	$\theta_3$	0,4208	0	$-\frac{\pi}{2}$
4	$\theta_4$	0	0	$\frac{\pi}{2}$
5	$\theta_5$	0,3143	0	$-\frac{\pi}{2}$
6	$\theta_6$	0	0	$\frac{\pi}{2}$
7	$\theta_7$	0,1674	0	0

## 2.2 Cinemática Inversa

A cinemática inversa é um método utilizado para determinar os parâmetros de uma junta de um manipulador a partir da configuração do efetuador ( $p_{be}, R_{be}$ ) e tem como características:

1. Pode não existir solução
2. Podem existir múltiplas soluções
3. Podem existir infinitas soluções (manipuladores redundantes)

A cinemática inversa pode ser resolvida por vários métodos. como:

1. Desacoplamento Cinemático
2. Decomposição em sub-problemas
3. Algoritmo Iterativo



Usaremos o método do Algoritmo Iterativo através da função *kinova.ikine()* do pacote Robotic Toolbox, considerando a seguinte configuração:

$$R_{be} = \begin{bmatrix} 0 & 0 & 1 \\ 1 & 0 & 0 \\ 0 & 1 & 0 \end{bmatrix}$$

$$p_{be} = [0.58, -0.2, 0.4]^T (m)$$

E sabendo que a Matriz de Transformação Homogênea é formada por:

$$T_{be}(\theta) = \begin{bmatrix} R_{be}(\theta) & p_{be}(\theta) \\ 0 & 1 \end{bmatrix}$$

Utilizando os valores de  $R_{be}$  e  $p_{be}$ , temos a seguinte Matriz de Transformação Homogênea.

$$T_{be}(\theta) = \begin{bmatrix} 0 & 0 & 1 & 0.58 \\ 1 & 0 & 0 & -0.2 \\ 0 & 1 & 0 & 0.4 \\ 0 & 0 & 0 & 1 \end{bmatrix}$$

## 2.3 Cinemática Diferencial

O Jacobiano é uma parte integral da *Cinemática Diferencial*, ele estabelece a relação entre as velocidades das juntas  $\dot{\theta}$  e a velocidade linear e angular do efetuador.

Temos que o Jacobiano Geométrico  $J(\theta)$  é definido pela junção do Jacobiano de posição  $J_p(\theta)$  e o Jacobiano de orientação  $J_o(\theta)$ , como podemos ver na equação abaixo.

$$J(\theta) = \begin{bmatrix} J_p(\theta) \\ J_o(\theta) \end{bmatrix}$$

Neste relatório será calculado o Jacobiano de posição do manipulador, considerando o punho com relação à base, sendo o punho o ponto de interseção das 3 últimas juntas, então ao calcularmos o Jacobiano de posição teremos a relação da velocidade linear do punho em função das velocidades das junta  $\dot{\theta}_i$  com  $i = 1, \dots, 4$ .

Como no Kinova Gen3 Ultra lightweight, nosso manipulador de estudo, só contém juntas de rotação, o Jacobiano de posição  $J_p(\theta)$  é definido como:

$$J_{pn}(\theta) = \begin{bmatrix} \vec{h}_1 \times \vec{p}_{1n} & \vec{h}_2 \times \vec{p}_{2n} & \dots & \vec{h}_n \times \vec{p}_{nn} \end{bmatrix} \quad (1)$$

O Jacobiano de posição também pode ser expressido em um sistema de coordenadas, usaremos na base  $E_0$ .

$$(J_{p5})_0 = \begin{bmatrix} \widehat{(\vec{h}_1)_0}(\vec{p}_{15})_0 & \widehat{(\vec{h}_2)_0}(\vec{p}_{25})_0 & \widehat{(\vec{h}_3)_0}(\vec{p}_{35})_0 & \widehat{(\vec{h}_4)_0}(\vec{p}_{45})_0 \end{bmatrix}$$

Como estamos fazendo com o enfoque por produtos de exponenciais, o  $h_i$  pode ser determinado no sistema de coordenadas da base, então temos:

$$(J_{p5})_0 = \begin{bmatrix} \widehat{R_{01}(\vec{h}_1)_1}(\vec{p}_{15})_0 & \widehat{R_{02}(\vec{h}_2)_2}(\vec{p}_{25})_0 & \widehat{R_{03}(\vec{h}_3)_3}(\vec{p}_{35})_0 & \widehat{R_{04}(\vec{h}_4)_4}(\vec{p}_{45})_0 \end{bmatrix}$$

Temos que para os  $h_i$  com  $i$  ímpar, apontam para  $\vec{z}$  e que os pares apontam para  $\vec{y}$ , como podemos ver na Figura abaixo:

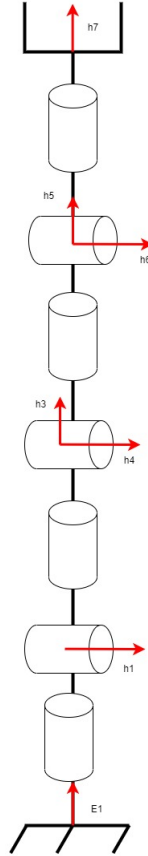


Figura 5:  $h_i$  por enfoque por produto exponenciais

Então temos:

$$h_1 = h_3 = h_5 = h_7 = \vec{z} = [0, 0, 1]$$

$$h_2 = h_4 = h_6 = \vec{y} = [0, 1, 0]$$

Podemos definir o  $p_i$  em relação ao  $p_{i-1}$  comparando as distâncias entre os  $h_i$ . Como a nossa posição zero é a do manipulador empinado, todas as distâncias serão no eixo  $\vec{z}$ , como podemos ver abaixo:

$$\begin{aligned} p_{01}^{\vec{}} &= 0 \\ p_{12}^{\vec{}} &= (0, 1564 + 0, 2104)\vec{z}_1 \\ p_{23}^{\vec{}} &= (0, 2104 + 0, 2104)\vec{z}_2 \\ p_{34}^{\vec{}} &= 0 \\ p_{45}^{\vec{}} &= (0, 2084 + 0, 1059)\vec{z}_4 \\ p_{56}^{\vec{}} &= 0 \\ p_{67}^{\vec{}} &= (0, 1059 + 0, 0615)\vec{z}_6 \end{aligned}$$

O  $p_i$  pode ser determinado pela seguinte expressão:

$$(\vec{p}_i)_0 = (p_{i+1})_0 + R_{0,i-1}(p_{i-1,i})_{i-1}$$

Então temos:

$$(p_{15}^{\vec{}})_0 = (p_{25}^{\vec{}})_0 + R_{01}(p_{12})_1$$

$$(p_{25}^{\vec{}})_0 = (p_{35}^{\vec{}})_0 + R_{02}(p_{23})_2$$

$$(p_{35}^{\vec{}})_0 = (p_{45}^{\vec{}})_0 + R_{03}(p_{34})_3$$

$$(p_{45}^{\vec{}})_0 = R_{04}(p_{45})_4$$

Sabendo a matriz de rotação é definida pela equação a seguir, com  $c_i$  e  $s_i$ , representando o *coseno* e o *seno* da junta  $i$ , respectivamente, logo temos:

$$R_{01} = e^{\hat{z}\theta_1} = \begin{bmatrix} c_1 & -s_1 & 0 \\ s_1 & c_1 & 0 \\ 0 & 0 & 1 \end{bmatrix}$$

...

Agora que temos as matrizes de rotação em relação à junta anterior, é necessário definir em relação à base, isso é feito utilizando a máxima a seguir:

$$\begin{aligned} R_{02} &= R_{01}R_{12} \\ R_{03} &= R_{01}R_{12}R_{23} \\ &\dots \end{aligned}$$

## 2.4 Torque

O torque aplicado nas juntas é definido como:

$$\tau = J_0^T(\theta)(\vec{F}_n)_o$$

Vamos determinar o torque, então usando o Jacobiano na posição home transposto usando a função *kinova.jacob0()* e multiplicando pela força aplicada (-25N) no End effector Frame.

## 3 Resultados

### 3.1 Cinemática Direta

A partir da definição dos parâmetros, estes são inseridos em um código (Figura 6) para a simulação do modelo utilizando o Robot ToolBox do MATLAB.

```

clear L
%          theta      d          a          alpha  type mdh  offset
L(1) = Link([0      0.2848      0 -pi/2 0 0], 'standard');
L(2) = Link([0      0.0        0  pi/2 0 0], 'standard');
L(3) = Link([0      0.4208      0 -pi/2 0 0], 'standard');
L(4) = Link([0      0.0        0  pi/2 0 0], 'standard');
L(5) = Link([0      0.3143      0 -pi/2 0 0], 'standard');
L(6) = Link([0      0          0  pi/2 0 0], 'standard');
L(7) = Link([0      0.1674      0  0    0 0], 'standard' );

kinova=SerialLink(L, 'name', 'Projeto 1 - Erica Ferreira');

qz=[0 0 0 0 0 0 0];

kinova.teach(qz)

```

Figura 6: Código utilizado para a simulação no MATLAB

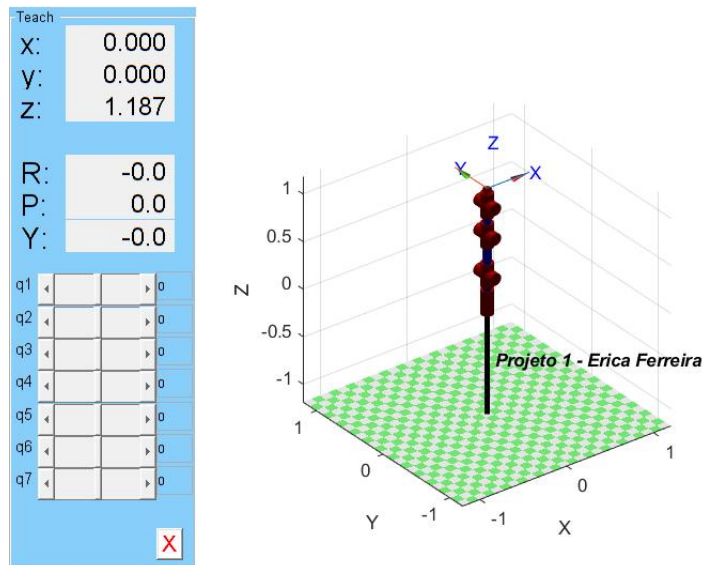


Figura 7: Simulação do Kinova Gen3 no MATLAB

### 3.1.1 Simulação com os parâmetros de Denavit-Hartenberg Standard

Para validar a simulação, 4 posições diferentes de fácil visualização foram testadas no modelo. A Matriz de Transformação Homogênea foi gerada usando a função *kinova.fkine(qz)*,

sendo esta uma função do pacote Robotic Toolbox do *MATLAB*.

Para a primeira validação, temos uma rotação de  $\pi/2$  na segunda junta ( $qz = [0 \text{ pi}/2 \ 0 \ 0 \ 0 \ 0]$ ).

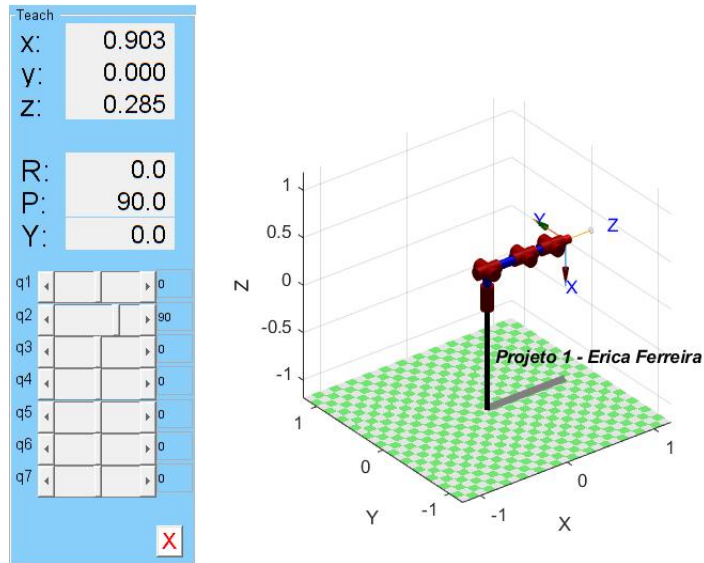


Figura 8: Plot da Configuração 1

```
ans =
      0      0      1  0.9025
      0      1      0      0
     -1      0      0  0.2848
      0      0      0      1
```

Figura 9: Matriz de Transformação Homogênea da Configuração 1

Na segunda validação, foi feito uma rotação de  $\pi/2$  na quarta junta ( $qz = [0 \ 0 \ 0 \ \pi/2 \ 0 \ 0 \ 0]$ ).

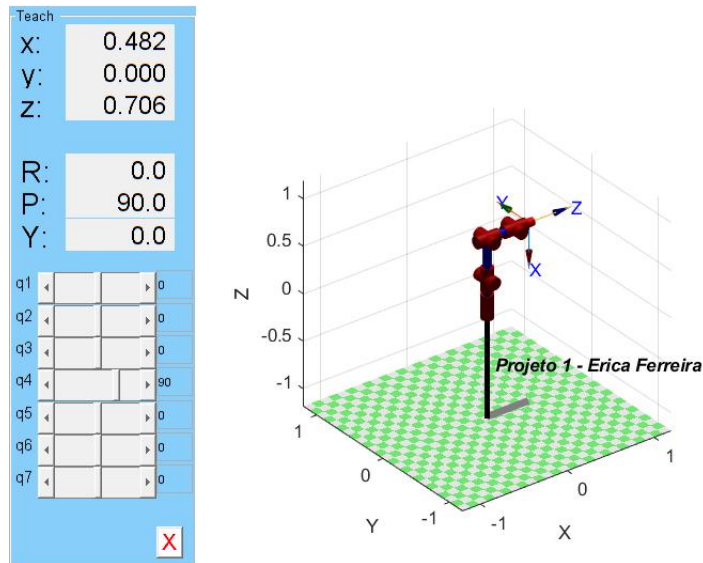


Figura 10: Plot da Configuração 2

```
ans =
    0    0    1    0.4817
    0    1    0    0
   -1    0    0    0.7056
    0    0    0    1
```

Figura 11: Matriz de Transformação Homôgenea da Configuração 2

Já na terceira validação, foi feita uma rotação de  $\pi/2$  na quarta junta e de  $-\pi/2$  na sexta junta ( $qz = [0 \ 0 \ 0 \ \pi/2 \ 0 \ -\pi/2 \ 0]$ ).

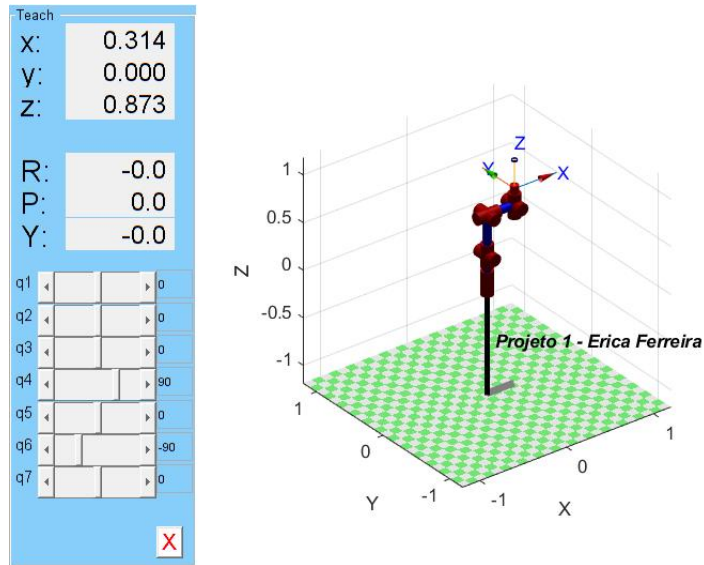


Figura 12: Plot da Configuração 3

```
ans =
    1    0    0    0.3143
    0    1    0    0
    0    0    1    0.873
    0    0    0    1
```

Figura 13: Matriz de Transformação Homôgenea da Configuração 3

Para a última validação, foi feita uma rotação de  $\pi/2$  na primeira e quarta juntas e uma rotação de  $-\pi/2$  na sexta junta ( $qz = [\pi/2 \ 0 \ 0 \ \pi/2 \ 0 \ -\pi/2 \ 0]$ ).



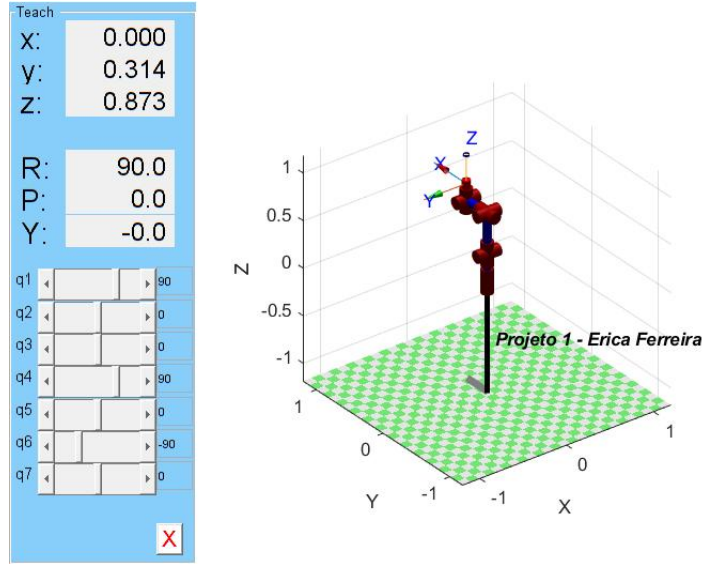


Figura 14: Plot da Configuração 4

```
ans =
    0    -1     0     0
    1     0     0    0.3143
    0     0     1    0.873
    0     0     0     1
```

Figura 15: Matriz de Transformação Homogênea da Configuração 4

### 3.2 Cinemática Inversa

Agora que a simulação foi validada utilizando cinemática direta, a mesma será validada por cinemática inversa. Para isso, vamos inserir uma matriz de transformação homogênea criada a partir da seguinte configuração de do Efetuador (End Effector Frame) na posição  $p_{be} = [0.58, -0.2, 0.4]^T$  e a orientação mostrada na matriz abaixo:

$$T_{be}(\theta) = \begin{bmatrix} 0 & 0 & 1 & 0.58 \\ 1 & 0 & 0 & -0.2 \\ 0 & 1 & 0 & 0.4 \\ 0 & 0 & 0 & 1 \end{bmatrix}$$

Essa matriz é então utilizada com a função *kinova.ikine()*, que retorna os ângulos de cada junta em radianos. Estes ângulos são então inseridos na função *kinova.fkine()*, que irá nos

retornar a mesma matriz que foi inserida na função de cinemática inversa, validando assim o resultado.

```
>> % Matriz de Transformação Homogênea
>> matriz

matriz =

    0    0    1.0000    0.5800
    1.0000    0    0    -0.2000
    0    1.0000    0    0.4000
    0    0    0    1.0000

>> % Calculando os ângulos de cada junta
>> % a partir da matriz de transformação
>> qz = kinova.ikine(matriz)

qz =

   -1.2041    1.0222    1.4427    1.7093    0.1513   -0.4547    0.4222

>> % Calculando a Matriz de Transformação Homogênea
>> % a partir dos ângulos de cada junta
>> kinova.fkine(qz)

ans =

    0    0    1    0.58
    1    0    0   -0.2
    0    1    0    0.4
    0    0    0    1

>> % Mesma matriz foi retornada, o que valida os nossos resultados
```

Figura 16: Código do *MATLAB* utilizado para a validação por cinemática inversa

### 3.3 Cinemática Diferencial

Com todas as variáveis definidas, esses valores serão o *input* do seguinte código no *MATLAB* para o cálculo do Jacobiano de Posição em relação à base:

```

>> % Apontando para z
h1 = [0; 0; 1];
h3 = [0; 0; 1];
h5 = [0; 0; 1];
h7 = [0; 0; 1];

% Apontando para y
h2 = [0; 1; 0];
h4 = [0; 1; 0];
h6 = [0; 1; 0];

% vetor posição em relação à junta anterior
p01 = [0; 0; 0];
p12 = [0; 0; 0.1564 + 0.2104i];
p23 = [0; 0; 0.2104 + 0.2104i];
p34 = [0; 0; 0];
p45 = [0; 0; 0.2084 + 0.1059i];
p56 = [0; 0; 0];
p67 = [0; 0; 0.1059 + 0.0615i];

% ângulo das juntas na posição zero ("empinado")
q = [0 0 0 0 0 0 0];

```

Figura 17: Inserção de  $h_i$  e  $p_{i-1,i}$

```

%Matriz rotação
R01 = [cos(q(1)) -sin(q(1)) 0; sin(q(1)) cos(q(1)) 0; 0 0 1];
R23 = [cos(q(3)) -sin(q(3)) 0; sin(q(3)) cos(q(3)) 0; 0 0 1];
R45 = [cos(q(5)) -sin(q(5)) 0; sin(q(5)) cos(q(5)) 0; 0 0 1];
R67 = [cos(q(7)) -sin(q(7)) 0; sin(q(7)) cos(q(7)) 0; 0 0 1];

R12 = [cos(q(2)) 0 sin(q(2)); 0 1 0; -sin(q(2)) 0 cos(q(2))];
R34 = [cos(q(4)) 0 sin(q(4)); 0 1 0; -sin(q(4)) 0 cos(q(4))];
R56 = [cos(q(6)) 0 sin(q(6)); 0 1 0; -sin(q(6)) 0 cos(q(6))];

R02 = R01 * R12;
R03 = R01 * R12 * R23;
R04 = R01 * R12 * R23 * R34;
R05 = R01 * R12 * R23 * R34 * R45;
R06 = R01 * R12 * R23 * R34 * R45 * R56;
R07 = R01 * R12 * R23 * R34 * R45 * R56 * R67;

```

Figura 18: Cálculo da Matriz Rotação

Então temos como resultado, a partir desse código:

```

p45_0 = R04*p45;
p35_0 = R03*p34 + p45_0;
p25_0 = R02*p23 + p35_0;
p15_0 = R01*p12 + p25_0;

h_10 = (R01*h1);
h_20 = (R02*h2);
h_30 = (R03*h3);
h_40 = (R04*h4);
h_50 = (R05*h5);
h_60 = (R06*h6);
h_70 = (R07*h7);

h1_0 = [0 -h_10(3) h_10(2); h_10(3) 0 -h_10(1) ; -h_10(2) h_10(1) 0];
h2_0 = [0 -h_20(3) h_20(2); h_20(3) 0 -h_20(1) ; -h_20(2) h_20(1) 0];
h3_0 = [0 -h_30(3) h_30(2); h_30(3) 0 -h_30(1) ; -h_30(2) h_30(1) 0];
h4_0 = [0 -h_40(3) h_40(2); h_40(3) 0 -h_40(1) ; -h_40(2) h_40(1) 0];

% Jacobiano de posição
J5p= [h1_0*p15_0 h2_0*p25_0 h3_0*p35_0 h4_0*p45_0]

```

Figura 19: Cálculo do Jacobiano de Posição  $J_{5p}$

```

% Jacobiano de posição
J5p= [h1_0*p15_0 h2_0*p25_0 h3_0*p35_0 h4_0*p45_0]

J5p =

         0    0.7351         0    0.3143
         0         0         0         0
         0         0         0         0

>> kinova.jacob0(q)

```

Figura 20: Jacobiano de Posição gerado pelo código das Figuras 16,17,18

### 3.3.1 Validação do Jacobiano

O Jacobiano de posição foi validado usando a função *kinova.jacob0()* a partir do modelo construído segundo os parâmetros de Denavit-Hartenberg. Uma modificação, foi feita, entretanto, como pode ser vista na figura abaixo. Como foi considerada que as 3 últimas juntas tem a mesma origem, elas passam a ter distância 0.

```
%All link lenghts and offsets are measured in cm
clear L
%           theta    d        a        alpha  type mdh  offset
L(1) = Link([0      0.2848    0 -pi/2 0 0], 'standard');
L(2) = Link([0      0.0       0  pi/2 0 0], 'standard');
L(3) = Link([0      0.4208    0 -pi/2 0 0], 'standard');
L(4) = Link([0      0.0       0  pi/2 0 0], 'standard');
L(5) = Link([0      0.3143    0 -pi/2 0 0], 'standard');
L(6) = Link([0      0         0  pi/2 0 0], 'standard');
L(7) = Link([0      0         0  0    0 0], 'standard' );

kinova=SerialLink(L, 'name', 'Projeto 1 - Erica Ferreira');

q = [0 0 0 0 0 0 0 ];

kinova.teach(q)
```

Figura 21: Código no MATLAB modificado

Foram comparadas as seguintes posições:

$$\begin{aligned} q &= [0 \ 0 \ 0 \ 0 \ 0 \ 0 \ 0] \\ q &= [0 \ 0 \ \pi/2 \ 0 \ 0 \ 0 \ 0] \\ q &= [0 \ 0 \ 0 \ \pi/2 \ 0 \ 0 \ 0] \end{aligned}$$

Para a configuração 1, temos os seguintes resultados, podemos ver que são compatíveis, assim como os das configurações 2 e 3.

```
% Jacobiano de posição
J5p= [h1_0*p15_0 h2_0*p25_0 h3_0*p35_0 h4_0*p45_0]

J5p =

         0    0.7351         0    0.3143
         0         0         0         0
         0         0         0         0

>> kinova.jacob0(q)
```

Figura 22: Jacobiano de posição da Configuração 1

```
>> kinova.jacob0(q)

ans =

         0    0.7351         0    0.3143         0         0         0
         0         0         0         0         0         0         0
         0         0         0         0         0         0         0
         0         0         0         0         0         0         0
         0    1.0000         0    1.0000         0    1.0000         0
    1.0000    0.0000    1.0000    0.0000    1.0000    0.0000    1.0000
```

Figura 23: Jacobiano da Configuração 1

```
% Jacobiano de posição
J5p= [h1_0*p15_0 h2_0*p25_0 h3_0*p35_0 h4_0*p45_0]

J5p =

         0    0.0000         0    0.0000
    0.7351         0         0         0
         0   -0.7351         0   -0.3143
```

Figura 24: Jacobiano de posição da Configuração 2

```
>> kinova.jacob0(q)

ans =

-0.0000    0.0000         0    0.0000         0         0         0
 0.7351    0.0000         0    0.0000         0         0         0
 0.0000   -0.7351         0   -0.3143         0         0         0
         0         0    1.0000         0    1.0000         0    1.0000
 0.0000    1.0000    0.0000    1.0000    0.0000    1.0000    0.0000
 1.0000    0.0000    0.0000    0.0000    0.0000    0.0000    0.0000
```

Figura 25: Jacobiano da Configuração 2

```
% Jacobiano de posição
J5p= [h1_0*p15_0 h2_0*p25_0 h3_0*p35_0 h4_0*p45_0]

J5p =

         0    0.4208         0    0.0000
 0.3143         0    0.3143         0
         0   -0.3143         0   -0.3143
```

Figura 26: Jacobiano de posição da Configuração 3

```
>> kinova.jacob0(q)

ans =

-0.0000    0.4208   -0.0000    0.0000         0         0         0
 0.3143    0.0000    0.3143    0.0000         0         0         0
 0.0000   -0.3143    0.0000   -0.3143         0         0         0
         0         0         0         0    1.0000         0    1.0000
 0.0000    1.0000    0.0000    1.0000    0.0000    1.0000    0.0000
 1.0000    0.0000    1.0000    0.0000    0.0000    0.0000    0.0000
```

Figura 27: Jacobiano da Configuração 3



### 3.4 Torque

Agora que foi definido o torque ele é calculado utilizando o Jacobiano gerado por *kinova.jacob0()* para a posição home com a configuração original por DH (sem juntar as três últimas juntas), como podemos ver no código abaixo.

Vamos calcular o torque para uma força de  $-25N$  na vertical, como queremos no final o torque realizado pelas juntas para se manter nessa posição, que é o oposto do torque infligido nas juntas, será calculado para uma força de  $25N$  na vertical, o que já retornará o resultado esperado.

```
>> q_home = [0 15 180 230 0 55 90]* pi /180;

jacobiano_no_home = kinova.jacob0(q_home);

% Força de 25N na terceira junta
torque = (jacobiano_no_home)' * [0; 0; 25; 0; 0; 0;];
```

Figura 28: Código no *MATLAB* para o cálculo do  $\tau$

Então temos como resultado:

```
disp(torque)
-0.0000
-11.4147
-0.0000
 8.6919
 0.0000
 4.1850
 0
```

Figura 29:  $\tau$  calculado

## 4 Conclusão

Neste relatório calculamos a cinemática direta, inversa, diferencial e o torque para o modelo Kinova Gen3 Ultra lightweight, durante esses cálculos foram testadas e decorrente disso, entendidas, funções do *MATLAB*, como *.fkine()* para cinemática direta, *.ikine()*, para a inversa e *.jacob0()* para o jacobiano geométrico (cinemática diferencial).